

## مدل سازی و پیش‌بینی خطر آتش‌سوزی در جنگل‌های بخش سه نکا- ظالمرود با استفاده از سامانه اطلاعات جغرافیایی

سعیده اسکندری<sup>۱\*</sup>، جعفر اولادی قادیکلایی<sup>۲</sup>، حمید جلیلوند<sup>۲</sup> و محمدرضا سراجیان<sup>۳</sup>

<sup>۱\*</sup>- نویسنده مسئول، دانشجوی دکتری، گروه جنگلداری، دانشکده منابع طبیعی، دانشگاه علوم کشاورزی و منابع طبیعی ساری.  
پست الکترونیک: [saeedeheskandari119@yahoo.com](mailto:saeedeheskandari119@yahoo.com)

<sup>۲</sup>- دانشیار، گروه جنگلداری، دانشکده منابع طبیعی، دانشگاه علوم کشاورزی و منابع طبیعی ساری.

<sup>۳</sup>- دانشیار، گروه سنجش از دور، دانشکده فنی، دانشگاه تهران.

تاریخ پذیرش: ۹۲/۱/۸

تاریخ دریافت: ۹۱/۷/۲۵

### چکیده

این تحقیق با هدف پیش‌بینی آتش‌سوزی‌های آینده با استفاده از مدل سازی خطر آتش‌سوزی در جنگل‌های بخش سه نکا- ظالمرود انجام شد. بهمنظور مدل سازی خطر آتش‌سوزی از روش تحلیل سلسله مراتبی فازی برای وزندهی به عوامل مؤثر در آتش‌سوزی استفاده شد و بعد نقشه مربوط به هر عامل برای قابلیت یابی مناطق خطر آتش‌سوزی تهیه شد. عوامل مورد استفاده شامل ۴ معیار اصلی و ۱۷ زیرمعیار بود. معیارهای اصلی شامل معیارهای توپوگرافی، معیارهای بیولوژیکی، معیارهای اقلیمی و معیارهای انسان‌ساخت بود. برای تهیه نقشه تمام این عوامل از مدل رقومی ارتفاع منطقه و اطلاعات موجود در شرکت سهامی نکاچوب و بعضًا نقشه‌برداری محیط لکه‌های آتش‌سوزی در عرصه با سیستم موقعیت‌یاب جهانی تهیه شد. برای وزندهی به عوامل مؤثر در آتش‌سوزی با تحلیل سلسله مراتبی فازی، از مقیاس‌های زبانی برای بیان درجه اهمیت عوامل و نتایج ارزیابی پرسشنامه‌های توزیع شده بین متخصصان آتش‌سوزی در عرصه‌های منابع طبیعی استفاده شد. سپس نسبت سازگاری هر معیار برای بررسی صحت وزن معیارها محاسبه شد. نتایج نشان داد که وزن نهایی معیارهای انسان‌ساخت، بیولوژیکی، اقلیمی و توپوگرافی در قابلیت خطر آتش‌سوزی به ترتیب برابر با ۰/۳۰۱، ۰/۲۵۹۵، ۰/۲۳۱۵ و ۰/۲۰۸ است. پس از بدست آوردن وزن هر معیار و زیرمعیار با استفاده از روش تحلیل سلسله مراتبی فازی، مدل خطر آتش‌سوزی در جنگل‌های منطقه ارائه شد؛ سپس نقشه مربوط به تمام عوامل مؤثر در آتش‌سوزی (۱۷ زیرمعیار) با استفاده از روش فازی در محیط GIS استانداردسازی و مقادیر ارزش‌های پیکسلی هر نقشه بین ۰ تا ۱ ارزش‌گذاری شد. درنهایت با استفاده از مدل بدست آمده ابتدا نقشه معیارهای اصلی (از ادغام وزنی زیرمعیارهای هر معیار) و بعد نقشه نهایی خطر آتش‌سوزی جنگل‌های منطقه (از ادغام وزنی نقشه ۴ معیار اصلی) تهیه شد. در پایان نقشه خطر آتش‌سوزی جنگل‌های منطقه در ۵ طبقه ارائه شد. نتایج نشان داد که مناطق پر خطر آتش‌سوزی در نقشه قابلیت خطر تهیه شده با مناطق آتش‌سوزی‌های گذشته که نشان‌دهنده اعتبار و صحت بالای مدل ساخته شده است.

واژه‌های کلیدی: تحلیل سلسله مراتبی فازی، معیارهای بیولوژیکی، توپوگرافی، اقلیمی و انسان‌ساخت، مدل رقومی ارتفاع

جنگل‌ها، روستاهای و ساکنان آنها به دلیل تمرکز جمعیت می‌گذارد (Podur *et al.*, 2002; Kazemi, 2005). کشور ایران از جمله کشورهای حادثه‌خیز دنیا است که پدیده آتش‌سوزی جنگل، یکی از مهمترین بحران‌های آن

### مقدمه

آتش‌سوزی جنگل با منشاً طبیعی و یا انسانی آثار زیان‌بار و ویرانگری به‌طور مستقیم یا غیرمستقیم بر جوامع انسانی دارد که در صورت وقوع، تأثیر عظیمی بر محیط‌زیست

با استفاده از سامانه موقعیت‌یاب جهانی (GPS) نقشه مناطق آتش‌سوزی شده تهیه شد. سپس با به کارگیری روش تحلیل سلسله مراتبی (AHP) عوامل مؤثر در بروز و انتشار آتش‌سوزی وزن‌دهی شدند و اقدام به تهیه نقشه پهنه‌بندی خطر آتش‌سوزی با استفاده از لایه‌های وزنی و ضریب وزنی مربوط به هر یک از عوامل شد. نتایج نشان داد که ۹۰ درصد از مناطق آتش گرفته در پهنه‌هایی با خطر زیاد قرار دارند. (Salamati *et al.*, 2011) نیز نقشه خطر آتش‌سوزی در جنگل‌های گلستان را با استفاده از AHP و GIS تهیه کردند. بدین منظور عوامل مؤثر در وقوع آتش‌سوزی براساس مقایسه‌های زوجی، وزن‌دهی و ۴۰ نقشه خطر آتش‌سوزی تهیه شد. نتایج نشان داد که ۴۰ درصد منطقه در طبقات پر خطر و بسیار پر خطر قرار دارد. به علاوه با توجه به اهمیت مسئله آتش‌سوزی جنگل‌ها در خارج از کشور، پژوهش‌های گسترش‌های نیز در این زمینه انجام شده است. در همین راستا در تحقیقی نقشه مناطق بحرانی خطر آتش‌سوزی در سواحل مدیترانه در اسپانیا با استفاده از ترکیب داده‌های پردازش یافته تصویر TM و داده‌های دیگر در محیط GIS تهیه شد. ادغام لایه‌ها براساس سلسله مراتب (AHP) انجام شد. نتایج نشان داد که ۲۲ درصد از پیکسل‌هایی که در مناطق پر خطر از نظر آتش‌سوزی قرار گرفته‌اند، طی سال‌های گذشته واقعاً آتش گرفته بودند، در حالی که تنها ۳/۴۷ درصد از مناطق کم- خطر واقعاً سوخته بودند (Chuvieco & Congalton, 1989). در تحقیق مشابه دیگری برای شناسایی مناطق حساس به حریق در جنگل‌های هندوستان از داده‌های ماهواره‌ای IRS ID LISS و پایگاه داده‌ها در GIS استفاده شد. البته فاکتورهای مؤثر در وقوع آتش‌سوزی جنگل براساس وزن و درجه اهمیت هر یک از آنها ادغام شدند. نتایج نشان داد که ۲۰ درصد از منطقه قابلیت بسیار زیاد، ۱۰ درصد قابلیت زیاد، ۱۵ درصد قابلیت متوسط و ۵۵ درصد از منطقه قابلیت کم برای وقوع آتش‌سوزی دارد (Dong *et al.*, 2005). (Jaiswal *et al.*, 2002) یک روش ترکیبی با RS و GIS را برای نقشه‌برداری مناطق خطر

محسوب می‌شود. به طوری که تنها در سال ۱۳۸۹، ۲۱۸ فقره آتش‌سوزی در حوضه اداره کل منابع طبیعی مازندران اتفاق افتاده و تنها در همین سال حدود ۴۹۴.۵۸ هکتار از جنگل‌ها و مراتع شمال ایران بر اثر آتش‌سوزی از بین رفته‌اند (Anonymous, 2011). جنگل‌های بخش سه نکا- ظالمروود نیز از جمله مناطقی است که در سال‌های اخیر دیچار آتش‌سوزی‌های متعددی شده است، به طوری که بیشترین آتش‌سوزی استان مازندران در سال‌های اخیر در ۵۳ جنگل‌های نکا اتفاق افتاده و تنها در سال ۱۳۸۹ حدود فقره آتش‌سوزی در این جنگل‌ها به وقوع پیوسته است که در اثر آن حدود ۳۸ هکتار از این جنگل‌ها از بین رفته‌اند (Anonymous, 2011). محدود بودن سطح این جنگل‌های ارزشمند از یک طرف و نابودی هر ساله این سطح محدود توسعه آتش‌سوزی‌های مکرر از طرف دیگر، نشان از اهمیت ارائه راهکاری برای مدیریت، نظارت و در نتیجه کاهش خسارت آتش‌سوزی جنگل دارد.

یکی از زمینه‌های پژوهش برای کنترل آتش‌سوزی‌های جنگل، شناسایی مناطق بحرانی آتش‌سوزی در جنگل‌های منطقه است (Jaiswal *et al.*, 2002) که اهمیت بسزایی در کاهش تعداد دفعات آتش‌سوزی و جلوگیری از تخریب جنگل‌های منطقه دارد (Dong *et al.*, 2005). در همین راستا در کشورمان (Akbari, 2010) مدلی ساده برای تهیه نقشه خطر آتش‌سوزی و هشدار آتش‌سوزی در نواحی جنگلی با استفاده از داده‌های سنجش از دور ارائه داد. با استفاده از این مدل و به کارگیری تصاویر ماهواره‌ای و DEM مربوط به منطقه، می‌توان پی به وجود مناطق با خطر زیاد آتش‌سوزی برد. بدین منظور سه فاکتور شیب، جهت شیب و NDVI را که بر روی مسئله فوق تأثیرگذارند در نظر گرفته شده و با فرموله کردن و اعمال آنها بر روی تصویر، مناطق با خطر زیاد مشخص شد. در تحقیق دیگری (Mohammadi *et al.*, 2010) اقدام به تهیه نقشه نواحی پر خطر آتش‌سوزی جنگل بر پایه عوامل پوشش گیاهی، فیزیوگرافی، اقلیمی، انسانی و فاصله از جاده‌ها و رودخانه‌ها در بخشی از حوضه پاوه‌رود کردند.

شده در بخشی از جنگلهای آمازون برزیل را با استفاده از تصاویر ماهواره‌ای به عنوان مناطق پرخطر از نظر آتش‌سوزی شناسایی کردند. سپس با استفاده از تصاویر MODIS آتش‌سوزی‌های فعال در منطقه شناسایی شد. نتایج آتش‌سوزی‌های گذشته با مناطق آتش‌سوزی‌های فعال مقایسه شد. به طوری که نتایج ضریب همبستگی ۰.۸۴ را بین این دو منطقه نشان داد. (Paz *et al.* (2011) نیز نقشه خطر آتش‌سوزی را که برای منطقه Carmel اسرائیل در سال ۲۰۰۹ تهیه کرده بودند با آتش‌سوزی واقعی که در سال ۲۰۱۰ در همین منطقه اتفاق افتاده بود مقایسه کردند. نتایج نشان داد که اغلب مناطق سوخته در سال ۲۰۱۰ در مناطق با خطر زیاد در نقشه قابلیت تهیه شده قرار گرفته‌اند که نشان می‌دهد مدل مورد استفاده ضریب اطمینان بالایی برای پیش‌بینی آتش‌سوزی‌های آینده دارد. بنابراین با توجه به اهمیت مسئله پیش‌گیری از آتش‌سوزی جنگل‌ها با استفاده از سیستم اطلاعات جغرافیایی و با توجه به وقوع آتش‌سوزی‌های متعدد در جنگل‌های بخش سه نکا-ظالمروド طی سال‌های اخیر، این تحقیق در نظر دارد با روشی متفاوت از تحقیقات قبلی (تحلیل سلسه مراتبی فازی) برای مدل‌سازی خطر آتش‌سوزی جنگل، تهیه نقشه قابلیت آتش‌سوزی و بررسی کارآیی مدل ساخته شده، مناطق بحرانی خطر آتش‌سوزی در جنگل‌های منطقه را شناسایی و به مدیران جنگل معرفی نماید تا حتی‌المقدور راهکاری برای پیش‌گیری از وقوع حریق‌های آینده در جنگل‌های منطقه ارائه دهد که به نظر می‌رسد برای پیش‌بینی آتش‌سوزی‌های آینده در جنگل‌های منطقه مورد مطالعه روش مناسبی باشد.

## مواد و روش‌ها

### منطقه مورد مطالعه

حدود این تحقیق بخش سه طرح جنگلداری نکا ظالمرود است که در حوضه آبخیز ۷۷ و در جنوب شهرهای نکا-بهشهر در استان مازندران واقع شده است. بخش سه جزء مجتمع جنگلی نکا-ظالمرود و در حوضه رودخانه نکا به

آتش‌سوزی در حوضه جنگلداری Baihe چین توسعه دادند. به همین منظور داده‌های توپوگرافی از DEM منطقه و اطلاعات مربوط به پوشش گیاهی و کاربری اراضی (جاده‌ها، مناطق مسکونی و غیره) از تصویر ETM+ لندست استخراج شدند. سپس مناطق خطر آتش‌سوزی با اختصاص وزن‌های معقول به طبقات همه لایه‌ها مشخص شدند. همچنین تاریخچه آتش‌سوزی در جنگل‌های مورد مطالعه از سال ۱۹۷۴ تا ۲۰۰۱ برای کنترل مطلوبیت روش مورد استفاده بررسی شد. نتایج نشان داد که مناطق با خطر آتش‌سوزی زیاد در مکان‌هایی واقع شده‌اند که قبلاً در آنها آتش‌سوزی اتفاق افتاده است. (Erten *et al.* (2005) در تحقیق دیگری مناطق خطر آتش‌سوزی در جنگل‌های گالی پولی ترکیه را با استفاده از داده‌های ماهواره‌ای و GIS نقشه‌برداری کردند. نتایج نشان داد که در مناطق با پوشش گیاهی خشک، شب بالا، جهت جنوبی و نزدیک به جاده و مناطق مسکونی، قابلیت خطر آتش‌سوزی زیاد است. Pradhan *et al.* (2007) نیز مناطق مستعد آتش‌سوزی جنگل در منطقه Kuala Selangor مالزی را با استفاده از RS و GIS بررسی کردند. مناطق مستعد آتش‌سوزی جنگل با استفاده از داده‌های موقعیت آتش‌سوزی‌های گذشته تعیین صحت شدند. نتایج، صحبت بالای نقشه قابلیت تهیه شده را به دلیل همخوانی مناطق پرخطر آن با مناطق آتش‌سوزی شده در گذشته نشان داد. در تحقیق مشابه دیگری (Sowmya & Somashekhar (2010) دھی مناسب به همه فاکتورهای مؤثر در ایجاد آتش‌سوزی با روش AHP، نقشه مناطق خطر آتش‌سوزی در پناهگاه حیات وحش Bhadra در هند را تهیه کردند. مناطق خطر آتش‌سوزی با مناطق واقعاً آتش‌گرفته طی سال‌های ۱۹۸۹ تا ۲۰۰۶ مقایسه شدند. نتایج نشان داد که اغلب مناطق پیش‌بینی شده برای آتش‌سوزی با توجه به مدل استفاده شده در مناطق واقعاً سوخته قرار گرفته‌اند. بنابراین روش، مدل و نقشه تهیه شده قابلیت اعتماد بالایی دارد و می‌تواند برای سیاست‌های جلوگیری از آتش‌سوزی در آینده استفاده شود. (Maeda *et al.* (2011) مناطق آتش‌سوزی

معیارها و زیرمعیارها، ۲) وزن‌دهی به عوامل مؤثر در آتش‌سوزی و مدل‌سازی خطر آتش‌سوزی جنگل با روش تحلیل سلسله مراتبی فازی (FAHP = Fuzzy Analytical Hierarchy Process) ۳) اختصاص وزن معیارها و ادغام معیارها (لایه‌ها) در سیستم اطلاعات جغرافیایی برای تهیه نقشه قابلیت خطر آتش‌سوزی و ۴) تهیه نقشه آتش‌سوزی‌های گذشته و اعتبارسنجی نقشه خطر آتش‌سوزی (Vadrevu *et al.*, 2009).

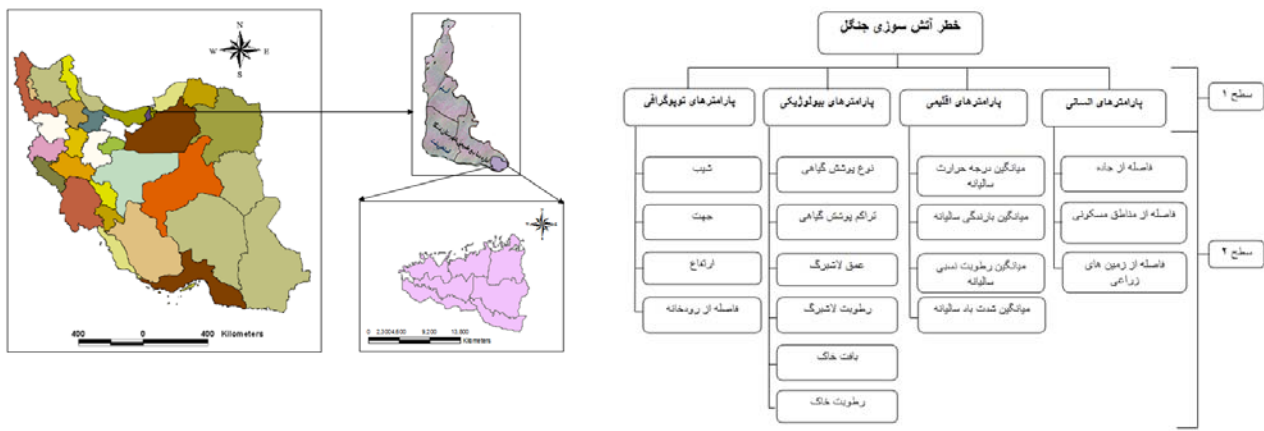
۱- ایجاد ساختار سلسله مراتبی معیارهای خطر آتش-سوزی و تهیه نقشه معیارها و زیرمعیارها برای انجام این تحقیق ابتدا ساختار سلسله مراتبی برای دستیابی به هدف قابلیت خطر آتش‌سوزی جنگل تشکیل شد (شکل ۲) و نقشه همه عوامل مؤثر در آتش‌سوزی تهیه شد. عوامل مورد استفاده شامل چهار معیار اصلی و هفده زیرمعیار بود. معیارهای اصلی شامل معیارهای توپوگرافی، معیارهای بیولوژیکی، معیارهای اقلیمی و معیارهای انسان-ساخت بود.

توجه: شکلها و جدولها به قسمت نتایج منتقل شود. معیار توپوگرافی شامل زیرمعیارهای شب، جهت، ارتفاع و فاصله از رودخانه است. برای تهیه نقشه‌های شب و جهت و ارتفاع از داده‌های DEM سنتجنده ASTER با اندازه پیکسل ۲۵ متر استفاده شد. هر کدام از این نقشه‌ها بر حسب هدف تحقیق Reclassify شده و در ۵ طبقه طبقه‌بندی شدند. نقشه تنها رودخانه موجود در جنگل‌های بخش سه نکا- ظالمروود (مهربان رود) نیز از شرکت سهامی نکاچوب تهیه و مسیر رودخانه در GIS رقومی شد. سپس در اطراف این نقشه بافرهای (حائل‌های) ۲۰۰ متری در نظر گرفته شده و نقشه مربوطه تهیه شد.

فاصله حدود ۱۵ کیلومتری شهرستان نکا و در امتداد جاده نکا- بهشهر قرار دارد. بخش سه طرح جنگلداری نکا- ظالمروود با وسعت حدود ۱۵۴۰۰ هکتار در عرض شمالی ۵۳° تا ۳۶° ۳۰' و طول شرقی ۱۵° ۵۳° ۲۶' درجه واقع شده است. از شرق به یال چاخانی در دامنه راست (شمال مهربان رود) و یال سوترا آباد روی دامنه چپ (جنوب مهربان رود)، از غرب به یال آبلو، از جنوب به یال زرندین- خرم چماز و از شمال به جاده آسفالتی نکا- بهشهر محدود می‌گردد (شکل ۱). بخش سه از ارتفاعات کوتاه تا بلند با شب توپوگرافی اغلب ملایم، عمق خاک به نسبت زیاد و پوشش جنگلی به نسبت انبوه تشکیل شده است. حداقل ارتفاع آن از سطح دریای آزاد حدود ۹۰ متر و حداقل ارتفاع آن ۸۲۰ متر است. جنگل-های این منطقه از نوع دانه‌زاد ناهمسال و آمیخته است. گونه‌های گیاهی منطقه شامل انواع گونه‌های درختی مانند راش، ممرز، بلوط، توسکا، افرا، نمدار، انگلی، آزاد و غیره و درختچه‌ها مانند ازگیل، ولیک، شمشاد، گوجه وحشی و غیره و همچنین گونه‌های علفی و خشی مانند آسپرولا، کارکس، کوله‌خاص، سیکلامن، بنفسه، پامچال، تمشک، سرخس و غیره است. بخش سه با توجه به اجرای طرح در سالهای گذشته (۳۰ سال) دارای ۱۰۳/۴ کیلومتر جاده جنگلی احداث شده، ۲۷ کیلومتر جاده روستاوی و ۲۱ کیلومتر جاده آسفالت است. جاده‌ها به طور عمده جاده جنگلی درجه دو محسوب می‌شود. این بخش به هفت سری تقسیم شده است که طی سال‌های گذشته سابقه حریق‌های شدید و وسیع را داشته‌اند (Anonymous, 2010).

## روش پژوهش

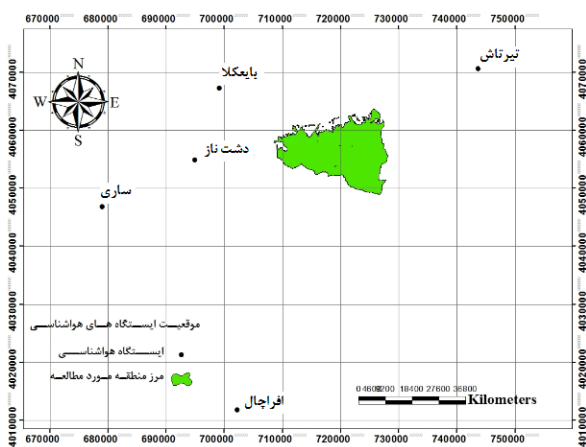
در این تحقیق از فرایند تحلیل سلسله مراتبی (Saaty, 1980) همراه با مجموعه‌های فازی برای رتبه‌بندی و وزن-هی به عوامل مؤثر در آتش‌سوزی استفاده شد. روش تحقیق شامل چهار مرحله اصلی بود. ۱) ایجاد ساختار سلسله مراتبی معیارهای خطر آتش‌سوزی و تهیه نقشه



شکل ۲- ساختار سلسله مراتبی برای قابلیت خطر آتش‌سوزی جنگل

شکل ۱- موقعیت منطقه مورد مطالعه در ایران

جاده‌ها، فاصله از مناطق مسکونی و فاصله از زمین‌های زراعی است. نقشه زیرمعیارهای مربوط به عوامل انسان-ساخت کلیه جاده‌ها، مناطق مسکونی (روستاهای) و زمین‌های زراعی از شرکت سهامی نکاچوب شناسایی شده و نقشه مربوط به آنها به صورت رقومی تهیه شد. سپس در اطراف جاده‌ها با فرهایی با شعاع ۲۰۰ متری و در اطراف مناطق مسکونی (روستاهای) و زمین‌های زراعی با فرهایی با شعاع ۱۰۰۰ متری زده شد و نقشه بافر این عوامل براساس هدف تحقیق در GIS طبقه‌بندی شد.



شکل ۳- موقعیت ایستگاه‌های هواشناسی در اطراف محدوده جنگل‌های بخش سه نکا-ظالمرود

معیارهای بیولوژیکی شامل نوع پوشش گیاهی، تراکم پوشش گیاهی، عمق لاشبرگ، رطوبت لاشبرگ، رطوبت خاک و بافت خاک است. نقشه معیارهای بیولوژیکی از شرکت سهامی نکاچوب تهیه و رقومی شد.

معیارهای اقلیمی در این تحقیق شامل زیرمعیارهای میانگین بارندگی سالیانه، میانگین رطوبت نسبی سالیانه، میانگین درجه حرارت سالیانه و میانگین شدت باد سالیانه است. برای تهیه نقشه زیرمعیارهای مربوط به عوامل اقلیمی به اداره کل هواشناسی مازندران مراجعه شد. اطلاعات مربوط به این عوامل طی سال‌های مربوط به آتش‌سوزی از ایستگاه‌های هواشناسی بایکلا، تیرتاش، افراجال، دشت ناز و ساری که در اطراف محدوده جنگل-های بخش سه نکا-ظالمرود قرار دارند، تهیه شد (شکل ۳). سپس از اطلاعات این ایستگاه‌ها در سال‌های مربوط به آتش‌سوزی میانگین گرفته شد تا یک عدد واحد برای هر یک از داده‌های اقلیمی (میانگین بارندگی سالیانه، میانگین رطوبت سالیانه، میانگین درجه حرارت سالیانه و میانگین شدت باد سالیانه) مربوط به هر ایستگاه بدست آید. سپس برای تهیه نقشه رقومی مربوط به این داده‌های اقلیمی از روش درون‌یابی IDW در GIS استفاده شد. سپس نقشه مربوط به این عوامل Reclassify شده و نقشه نهایی مربوط به آنها تهیه شد.

معیارهای انسان‌ساخت شامل زیرمعیارهای فاصله از

سلسله مراتبی فازی استفاده شد. بدین منظور تعدادی پرسشنامه بین کارشناسان آتش‌سوزی در عرصه‌های منابع طبیعی توزیع شد و میانگین پرسشنامه‌های تکمیل شده مورد تجزیه و تحلیل قرار گرفت. هر پرسشنامه شامل یک جدول برای بیان مقیاس زبانی اهمیت معیارها و زیرمعیارها نسبت به هم (جدول ۱) و پنج ماتریس مقایسه زوجی (چهار ماتریس مربوط به مقایسه زیرمعیارهای هر معیار و یک ماتریس مربوط به مقایسه معیارهای اصلی) بود. مقیاس‌های زبانی برای بیان اهمیت معیارها و زیرمعیارها نسبت به هم در روش تحلیل سلسله مراتبی فازی در جدول ۱ آورده شده است.

۲- وزن‌دهی به عوامل مؤثر در آتش‌سوزی و مدل‌سازی خطر آتش‌سوزی جنگل با روش تحلیل سلسله مراتبی فازی روش‌های فرایند تحلیل سلسله مراتبی فازی در بسیاری از تحقیقات برای اهداف مختلف مطرح شده- (Deng, 1999; Feng, 1995; Mikhailov & Tsvetinov, 2004; Erensal *et al.*, 2006; Wang *et al.*, 2008) که در این تحقیق از آن برای وزن‌دهی به عوامل مؤثر در آتش‌سوزی جنگل استفاده شده است. بنابراین پس از تهیه نقشه‌های رقومی مربوط به معیارها و زیرمعیارها و فازی کردن این لایه‌ها، برای تعیین وزن مناسب آنها بهمنظور تلفیق در محیط GIS، از روش تحلیل

جدول ۱- مقیاس‌های زبانی برای بیان درجه اهمیت در روش تحلیل سلسله مراتبی فازی (Chang, 1996)

| اعداد فازی مثلثی ( $l, m, u$ )    | مقیاس زبانی برای درجه اهمیت                                     |
|-----------------------------------|---|
| (1, 1, 1)                         | ارجحیت با اهمیت دقیقاً برابر Just equal (JE)                    |
| ( $\frac{1}{n}, 1, \frac{3}{n}$ ) | ارجحیت با اهمیت تقریباً برابر Equally Important (EI)            |
| (1, $\frac{3}{n}, 2$ )            | ارجحیت با اهمیت کم Weakly more Important (WMI)                  |
| ( $\frac{3}{n}, 2, \frac{5}{n}$ ) | ارجحیت با اهمیت قوی تر Strongly more Important (SMI)            |
| (2, $\frac{5}{n}, 3$ )            | ارجحیت با اهمیت خیلی قوی تر Very strongly more Important (VSMI) |
| ( $\frac{5}{n}, 3, \frac{7}{n}$ ) | ارجحیت با اهمیت کامل و مطلق Absolutely more Important (AMI)     |

آزمایش پایندگی وزن معیارها (نسبت سازگاری) هدف از انجام آزمون پایندگی آزمایش صحت وزن‌های بدست‌آمده برای هر معیار و زیرمعیار است. بنابراین باید ماتریس بردار پایندگی وزن نرمال معیارها تشکیل گردد که برای این منظور وزن نرمال میانگین هر معیار در ارزش‌های نسبت داده شده در سطرهای ماتریس مقایسه جفتی معیارها ضرب شد (رابطه ۱).

$$A \times W = \lambda_{\max} \times W \quad (1)$$

که  $W$  بردار ویژه وزنی مربوط به ماتریس مقایسه زوجی  $A$  و  $\lambda_{\max}$  بزرگترین مقدار ویژه ماتریس  $A$  است. ارزش لاندا ( $\lambda_{\max}$ ) به‌طور ساده شامل میانگین ارزش‌های

در این پژوهش برای تجزیه و تحلیل‌های نتایج پرسشنامه‌های تکمیل شده کارشناسان در روش تحلیل سلسله مراتبی فازی، از روش آنالیز توسعه‌ای فازی مثلثی چانگ (Chang, 1996) استفاده شد. زمانی که کارشناسان قضاوت‌های خود را براساس اعداد فاری مثلثی بیان می‌کنند، ماتریس مقایسه‌های زوجی تکمیل می‌شود. مراحل آنالیز توسعه‌ای چانگ بعد از تکمیل ماتریس‌ها (پرسشنامه‌ها) به‌طور کامل در Chang (1996) تشریح شده است. بر این اساس وزن نهایی هر معیار و زیرمعیار با استفاده از مقایسه‌های زوجی براساس نظر کارشناسان و به کمک روش سلسله مراتبی فازی محاسبه شد.

اعمال وزن آنها با استفاده از رویه Raster calculator در GIS تلفیق شدند و درنهایت یک نقشه ترکیبی (شامل هفده معیار مؤثر در آتشسوزی) با دامنه ارزش صفر تا یک بدست آمد. سپس نقشه نهایی با طبقه‌بندی این نقشه ترکیبی براساس ارزش‌های بسیار کم تا بسیار زیاد در پنج طبقه بسیار پرخطر، پرخطر، خطر متوسط، کم خطر و بسیار کم خطر تهیه شد.

#### ۴- تهیه نقشه آتشسوزی‌های گذشته و اعتبارسنجی نقشه خطر آتشسوزی

نقشه آتشسوزی‌های گذشته در جنگل‌های بخش سه نکا- ظالمروود با استفاده از اطلاعات موجود در شرکت سهامی نکاچوب و بعضًا نقشه‌برداری محیط لکه‌های آتشسوزی جدید در عرصه با سیستم موقعیت‌یاب جهانی تهیه شد. به‌منظور اعتبارسنجی نقشه خطر آتشسوزی، نقشه مناطق آتشسوزی گذشته با نقشه قابلیت خطر تهیه شده در محیط GIS روی هم گذاری شد. بر این اساس در صورتی که مناطق پرخطر نقشه قابلیت خطر با محدوده‌هایی که قبلًا آتش گرفته‌اند تطابق داشته باشد، اعتبار مدل ساخته شده برای تهیه نقشه خطر آتشسوزی اثبات خواهد شد.

### نتایج

**نقشه زیرمعیارهای مؤثر در خطر آتشسوزی**  
نقشه زیرمعیارهای توپوگرافی (شیب، جهت، ارتفاع و فاصله از رودخانه)، زیرمعیارهای بیولوژیکی (نوع پوشش گیاهی، تراکم پوشش گیاهی، عمق لاشبرگ، رطوبت لاشبرگ، رطوبت خاک و بافت خاک)، زیرمعیارهای اقلیمی (میانگین بارندگی سالیانه، میانگین رطوبت نسبی سالیانه، میانگین درجه حرارت سالیانه و میانگین شدت باد سالیانه) و زیرمعیارهای انسان‌ساخت (فاصله از جاده‌ها، فاصله از مناطق مسکونی و فاصله از زمین‌های زراعی) به ترتیب در شکل‌های ۴ تا ۷ نشان داده شده است.

بردار پایندگی است. بر این اساس مجموع بردارهای پایندگی بر تعداد معیارها ( $n$ ) تقسیم می‌شود (رابطه ۲). سپس شاخص سازگاری ماتریس برای اطمینان از انسجام قضاوت‌ها در مقایسه‌های زوجی، محاسبه می‌شود. سپس می‌توان طبق رابطه ۳ شاخص سازگاری (CI) را محاسبه کرد.

$$\lambda_{\max} = \frac{\lambda_{\max} + \lambda_{\max} + \dots + \lambda_{\max}}{n} \quad (2)$$

$$CI = (\lambda_{\max} - n)/(n - 1) \quad (3)$$

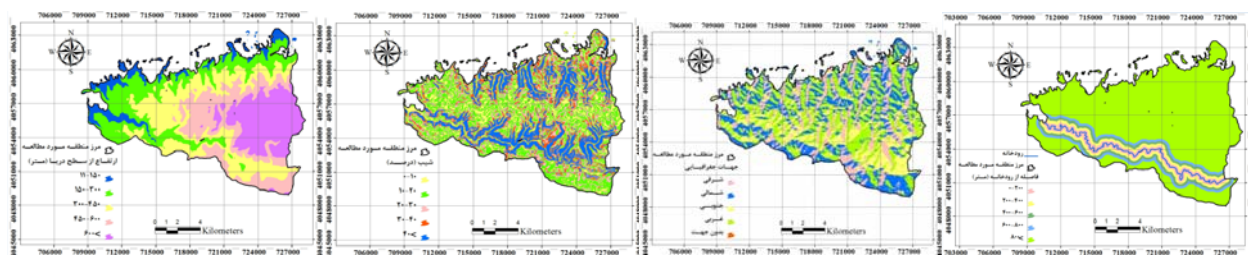
در این رابطه،  $n$  بعد ماتریس و  $\lambda_{\max}$  بزرگترین مقدار ویژه ماتریس مقایسه زوجی است. همچنین نسبت سازگاری (CR) از رابطه ۴ بدست می‌آید.

$$CR = CI/RI \quad (4)$$

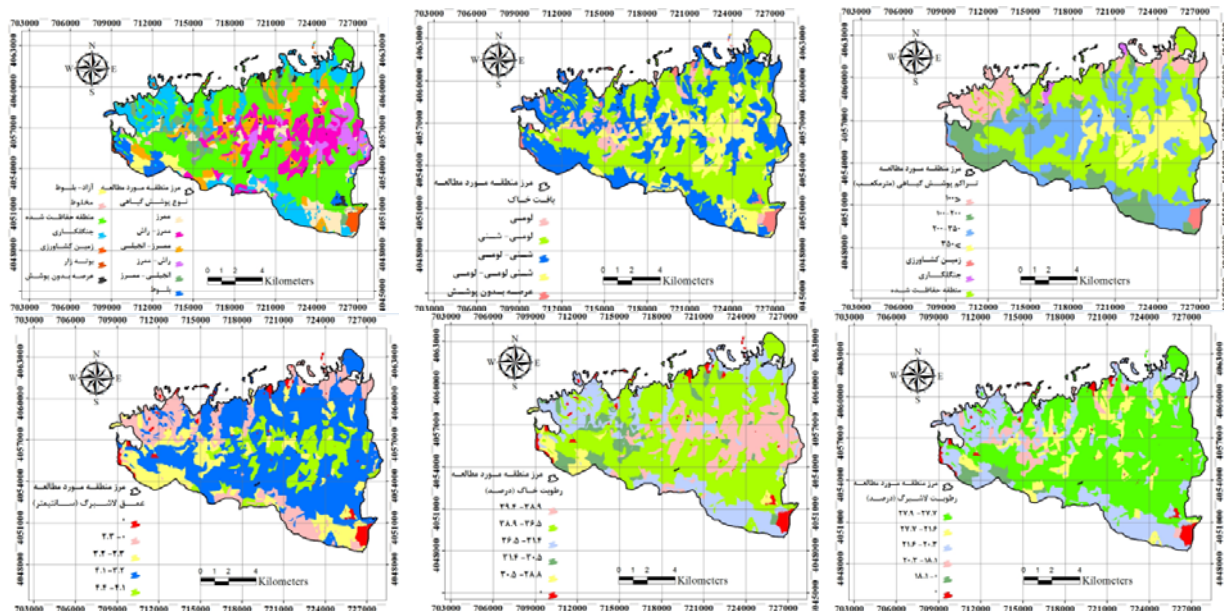
در این رابطه، RI شاخص تصادفی یک ماتریس با مقادیر تصادفی است. به‌طورکلی CR کمتر از ۰.۱ نشان-دهنده قضاوت سازگار در تصمیم‌گیری است (Saaty, 1980; Ghodspour, 2011).

#### ۳- اختصاص وزن معیارها و ادغام معیارها (لایه‌ها) در سیستم اطلاعات جغرافیایی برای تهیه نقشه قابلیت خطر آتشسوزی

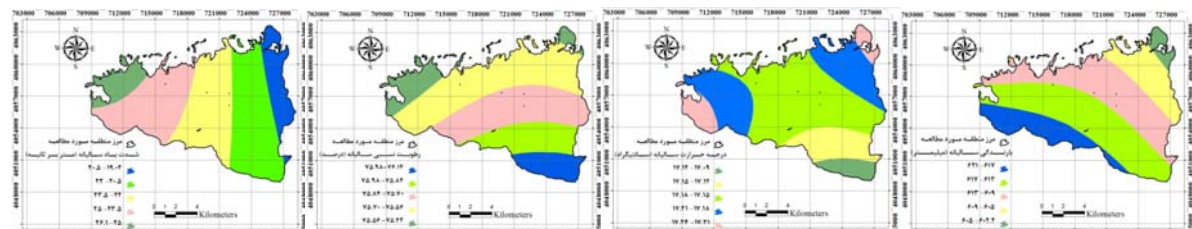
پس از تهیه نقشه کلیه زیرمعیارها (هفده زیرمعیار) و بدست آوردن وزن آنها از طریق روش تحلیل سلسله مراتبی فازی، نقشه هر زیرمعیار به فرمت رستری تبدیل شد. سپس ارزش‌های پیکسلی در هر نقشه با استفاده ازتابع عضویت فازی و بکار بردن رویه fuzzy membership در محیط GIS استانداردسازی و مقادیر ارزش‌های پیکسلی هر نقشه بین صفر (قابلیت خطر بسیار کم برای آتشسوزی) تا یک (قابلیت خطر بسیار زیاد برای آتشسوزی) ارزش‌گذاری شد. نقشه زیرمعیارهای مربوط به هر معیار اصلی با اعمال وزن آنها با استفاده از رویه Raster calculator در GIS تلفیق شدند تا نقشه ترکیبی مربوط به هر معیار با دامنه ارزش صفر تا یک بدست آید. سپس نقشه نهایی چهار معیار اصلی نیز با



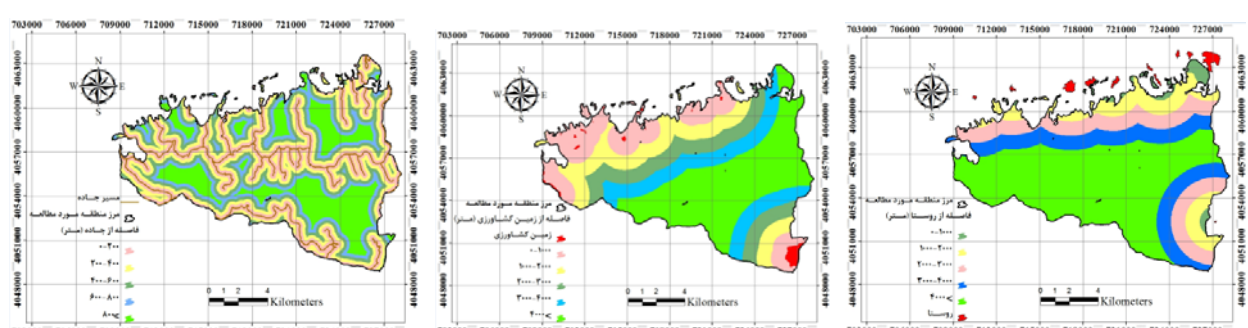
شکل ۴- نقشه زیرمعیارهای توپوگرافی



شکل ۵- نقشه زیرمعیارهای بیولوژیکی



شکل ۶- نقشه زیرمعیارهای اقلیمی



شکل ۷- نقشه زیرمعیارهای انسان ساخت

A (ماتریس مقایسه زوجی زیرمعیارهای هر معیار اصلی و نیز ماتریس مقایسه زوجی معیارهای اصلی) است. همچنین وزن زیرمعیارها و معیارهای اصلی براساس روش تحلیل سلسله مراتبی فازی در جدول‌های ۳ و ۴ نشان داده شده است.

وزن معیارها و زیرمعیارها یا لایه‌های مؤثر در آتش-سوزی و مدل خطر آتش‌سوزی جنگل با روش تحلیل سلسله مراتبی فازی

نتایج محاسبه نسبت سازگاری زیرمعیارها و معیارهای اصلی براساس تحلیل سلسله مراتبی فازی در جدول ۲ نشان داده شده است.  $\lambda_{\max}$  بزرگترین مقدار ویژه ماتریس

جدول ۲- محاسبه نسبت سازگاری زیرمعیارها و معیارهای اصلی براساس تحلیل سلسله مراتبی فازی

| معیار               | $\lambda_{\max}$ | $CI = (\lambda_{\max} - n)/(n - 1)$ | $CR = CI/RI$ |
|---------------------|------------------|-------------------------------------|--------------|
| معیارهای توپوگرافی  | ۴/۱۵۰۷           | ۰/۰۵۰۲                              | ۰/۰۵۵        |
| معیارهای بیولوژیکی  | ۶/۴۸             | ۰/۰۹۶                               | ۰/۰۷۴۴       |
| معیارهای اقلیمی     | ۴/۱۲۲۵           | ۰/۰۴۰۸                              | ۰/۰۴۵۳       |
| معیارهای انسان‌ساخت | ۳/۰۳۹۶           | ۰/۰۱۹۸                              | ۰/۰۳۴۱       |
| معیارهای اصلی       | ۴/۰۲۱۲           | ۰/۰۰۷                               | ۰/۰۰۷۸       |

جدول ۳- وزن زیرمعیارهای هر معیار

| معیار                   | وزن    | زیرمعیار       | معیار  | وزن                        | زیرمعیار            | معیار  |
|-------------------------|--------|----------------|--------|----------------------------|---------------------|--------|
| شیب                     | ۰/۲۵۱۷ | نوع پوشش گیاهی | ۰/۱۸۳۹ | توپوگرافی                  | ترکم پوشش گیاهی     | ۰/۱۷۶۲ |
| جهت ارتفاع              | ۰/۳۰۵۶ | عمق لاشبرگ     | ۰/۱۸۳۹ | اقلیمی                     | رطوبت لاشبرگ        | ۰/۱۸۳۹ |
| فاصله از رودخانه        | ۰/۲۱۷۷ | بیولوژیکی      | ۰/۱۳۰۶ | میانگین درجه حرارت سالیانه | بافت خاک            | ۰/۱۴۱۵ |
| میانگین بارندگی سالیانه | ۰/۲۵۵  |                | ۰/۳۷۳۶ | میانگین رطوبت نسبی سالیانه | رطوبت خاک           | ۰/۳۲۲۷ |
| میانگین شدت باد سالیانه | ۰/۲۶۵۲ |                | ۰/۳۰۳۷ | میانگین شدت باد سالیانه    | فاصله از زمین زراعی | ۰/۳۲۲۷ |

جدول ۴- وزن معیارهای اصلی

| معیار اصلی | وزن براساس روش تحلیل سلسله مراتبی فازی |
|------------|--|
| توپوگرافی  | ۰/۲۰۸                                  |
| بیولوژیکی  | ۰/۲۵۹۵                                 |
| اقلیمی     | ۰/۲۳۱۵                                 |
| انسان‌ساخت | ۰/۳۰۱                                  |

روش تحلیل سلسله مراتبی فازی تهیه شد (شکل ۸). مدل مربوط به ادغام زیرمعیارهای هر یک از معیارها براساس وزن آنها در زیر ارائه شده است:

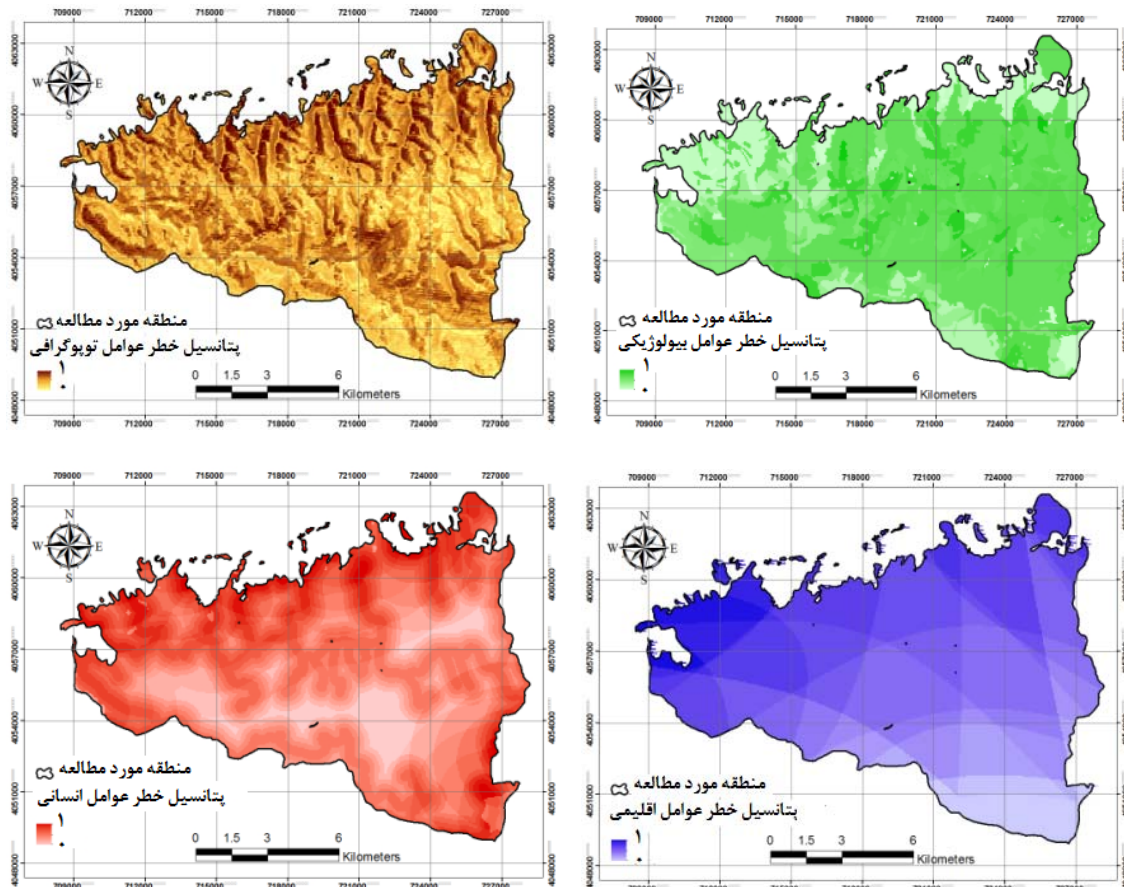
$$\text{شاخص معیار توپوگرافی} = 0.2517 + 0.2177 + 0.225 + (\text{ارتفاع}) + 0.2177 + 0.225 + (\text{افتتاح})$$

$$\text{شاخص معیار بیولوژیکی} = 0.1839 + (\text{عمق لاشبرگ}) + 0.1839 + (\text{تراکم پوشش گیاهی}) + 0.1762 + (\text{نوع پوشش گیاهی})$$

$$(\text{رطوبت خاک}) + 0.1415 + (\text{بافت خاک}) + 0.1306 + (\text{رطوبت لاشبرگ})$$

$$\text{شاخص معیار اقلیمی} = 0.2652 + (\text{درجه حرارت}) + 0.2257 + (\text{بارندگی}) + 0.2257 + (\text{شدت باد})$$

$$\text{شاخص معیار انسان ساخت} = 0.3736 + (\text{فاصله از زمین}) + 0.3227 + (\text{فاصله از منطقه مسکونی}) + 0.3227 + (\text{فاصله از جاده})$$



شکل ۸- نقشه معیارهای اصلی خطر آتش‌سوزی جنگل

روش تحلیل سلسله مراتبی فازی تهیه شد (شکل ۱۰). مدل خطر آتش‌سوزی جنگل عبارت است از:

نقشه معیارهای اصلی و قابلیت خطر آتش‌سوزی جنگل نقشه هر یک از معیارهای اصلی از طریق تلفیق نقشه زیرمعیارهای هر معیار براساس وزن‌های بدست‌آمده از (فاصله از رودخانه) + ۰.۲۲۵ + (ارتفاع) + ۰.۲۱۷۷ + (افتتاح)

$$\text{شاخص معیار بیولوژیکی} = 0.1839 + (\text{عمق لاشبرگ}) + 0.1839 + (\text{تراکم پوشش گیاهی}) + 0.1762 + (\text{نوع پوشش گیاهی})$$

$$(\text{رطوبت خاک}) + 0.1415 + (\text{بافت خاک}) + 0.1306 + (\text{رطوبت لاشبرگ})$$

$$\text{شاخص معیار اقلیمی} = 0.2652 + (\text{درجه حرارت}) + 0.2257 + (\text{بارندگی}) + 0.2257 + (\text{شدت باد})$$

$$\text{شاخص معیار انسان ساخت} = 0.3736 + (\text{فاصله از زمین}) + 0.3227 + (\text{فاصله از منطقه مسکونی}) + 0.3227 + (\text{فاصله از جاده})$$

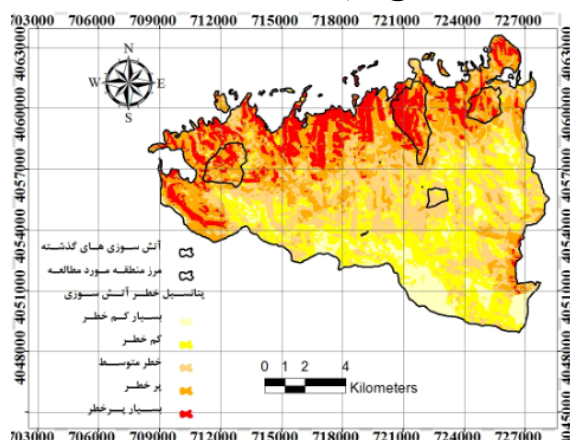
درنهایت نقشه نهایی قابلیت خطر آتش‌سوزی در جنگل‌های بخش سه نکا- ظالمرود از طریق تلفیق نقشه معیارهای اصلی براساس وزن‌های بدست‌آمده آنها از

$$\text{شاخص خطر آتش‌سوزی} = 0.2315 + (شاخص معیار بیولوژیکی) 0.2595 + (شاخص معیار توپوگرافی) 0.208 + (\text{شاخص معیار انسان‌ساخت}) 0.301 + (\text{شاخص معیار اقلیمی})$$

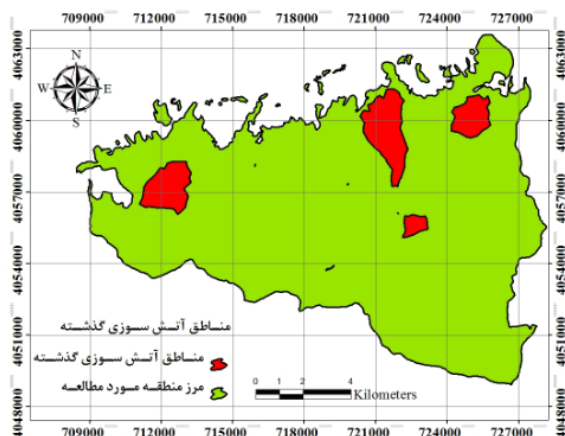
پوشانی نقشه خطر آتش‌سوزی جنگل و نقشه آتش-سوزی‌های گذشته در جنگل‌های بخش سه نکا-ظالمروд به منظور اعتبارسنجی مدل ساخته شده برای تهیه نقشه خطر آتش‌سوزی جنگل در شکل ۱۰ نشان داده شده است.

### نقشه آتش‌سوزی‌های گذشته و اعتبارسنجی نقشه خطر آتش‌سوزی

نقشه آتش‌سوزی‌های گذشته در جنگل‌های بخش سه نکا-ظالمرود در شکل ۹ نشان داده شده است. نتایج هم-



شکل ۹- نقشه آتش‌سوزی‌های گذشته



شکل ۱۰- نقشه خطر آتش‌سوزی و اعتبارسنجی آن براساس آتش‌سوزی‌های گذشته

وقوع آتش‌سوزی جنگل ضروریست. پژوهش‌های اولیه در خصوص خطر آتش‌سوزی در جنگل‌ها به طور عمده به شناسایی متغیرهای مؤثر در آتش‌سوزی جنگل و ادغام آنها براساس یک مدل ریاضی تأکید کرده‌اند. همچنین

بحث برای مدیریت آتش‌سوزی‌های فراینده جنگل‌ها و خطرهای متعاقب آن و همچنین پیش‌بینی آتش‌سوزی‌های آینده در این اکوسیستم‌ها بررسی اهمیت عوامل مؤثر در

عمق لاشبرگ هر کدام با وزن ۰/۱۸۳۹ بیشترین وزن را دارا می‌باشد، بنابراین مهمترین عوامل بیولوژیکی مؤثر در وقوع آتش‌سوزی هستند. با توجه به این که تجمع لاشبرگ خشک در فصل پاییز یکی از مهمترین شرایط مطلوب در وقوع آتش‌سوزی‌های جنگل‌های بخش سه نکا ظالمرود است (Anonymous, 2011)، چنین نتایجی منطقی به نظر می‌رسد که باز هم نشان‌دهنده مطلوبیت روش تحلیل سلسله مراتبی فازی در وزن‌دهی به عوامل مؤثر در وقوع آتش‌سوزی و مدل‌سازی خطر آتش‌سوزی جنگل است. در مورد معیار اقلیمی، زیرمعیارهای میانگین شدت باد سالیانه (وزن ۰/۲۷۱) و میانگین درجه حرارت سالیانه (۰/۲۶۵۲) بیشترین وزن و اهمیت را در وقوع آتش‌سوزی دارا می‌باشند. افزایش درجه حرارت در فصول خشک سال قبلًا هم یکی از مهمترین زمینه‌های وقوع آتش‌سوزی در جنگل‌های نکا عنوان شده است (Yousefi et al., 2011). همچنین نتایج تحقیق Yousefi (2010) and Jalilvand (2010) نیز نشان می‌دهد که در سال ۱۳۷۷ بیشترین وسعت حریق در حوضه اداره منابع طبیعی ساری اتفاق افتاده است که خشکی هوا، کاهش بارندگی و وزش بادهای گرم از جمله عوامل طبیعی محسوب می‌شود که شرایط مساعدی را برای ایجاد آتش‌سوزی‌های گسترده و سطحی در این سال فراهم کرده است. از بین زیرمعیارهای انسان‌ساخت نیز زیرمعیار فاصله از جاده (وزن ۰/۳۷۳۶) و بعد فاصله از مناطق مسکونی (وزن ۰/۳۲۲۷) بیشترین وزن را در وقوع آتش‌سوزی به خود اختصاص داده‌اند. با توجه به اینکه مهمترین راه دسترسی گردشگران و جنگل‌نشینان به جنگل‌های منطقه جاده‌های جنگلی هستند و این افراد از مهمترین عوامل ایجاد آتش‌سوزی در جنگل‌های بخش سه نکا- ظالمرود هستند، چنین نتایجی منطقی به نظر می‌رسد.

همچنین نتایج نقشه خطر آتش‌سوزی جنگل نشان می‌دهد که از مجموع مساحت حدود ۱۵۴۰ هکتاری این جنگل‌ها، ۱۴/۴۵ درصد (۲۰۴ هکتار) از منطقه قابلیت خطر بسیار زیاد و ۲۴/۲۹ درصد (۳۷۰/۶ هکتار) آن قابلیت

اغلب آنها فقط به عوامل اقلیمی (Goncalves & Lourenco, 1990; Van Wagner, 1993) یا پوشش (Maselli et al., 2003; Hernandez-Leal et al., 2006) گیاهی به تنهایی تمرکز کرده‌اند. در حالی که پیش‌بینی طبیعت دینامیک و متغیر آتش‌سوزی جنگل‌ها تنها از طریق شناسایی متغیرهای اقلیمی و پوشش گیاهی امکان‌پذیر نیست (Vadrevu et al., 2009). ترکیب روش تحلیل سلسله مراتبی فازی همراه با GIS که در این تحقیق به کار گرفته شد، روش متفاوتی از پژوهش‌های قبلی است که برای پیش‌بینی آتش‌سوزی‌های آینده در جنگل‌های شمال ایران روش مناسبی به نظر می‌رسد. زیرا بسیاری از متغیرهای مؤثر در خطر آتش‌سوزی جنگل ذاتاً دارای مشخصات فازی هستند.

این تحقیق به‌منظور شناسایی مناطق پرخطر آتش‌سوزی و پیش‌بینی آتش‌سوزی‌های آینده در جنگل‌های بخش سه نکا- ظالمرود با استفاده از روش تحلیل سلسله مراتبی فازی انجام گردید. نتایج این تحقیق نشان داد که وزن نهایی معیارهای انسان‌ساخت، بیولوژیکی، اقلیمی و توپوگرافی در قابلیت خطر آتش‌سوزی براساس روش تحلیل سلسله مراتبی فازی به ترتیب برابر با ۰/۳۰۱، ۰/۲۵۹۵، ۰/۲۳۱۵ و ۰/۲۰۸ است. بنابراین معیارهای انسان‌ساخت دارای بیشترین تأثیر در خطر آتش‌سوزی جنگل می‌باشند. با توجه به این که طبق گفته کارشناسان اداره منابع طبیعی نیز عامل شروع حدود ۹۰ درصد آتش‌سوزی‌ها در جنگل‌های بخش سه نکا- ظالمرود انسان‌ها هستند (Anonymous, 2011)، بنابراین نتایج بدست‌آمده از روش تحلیل سلسله مراتبی فازی در خصوص وزن معیارهای اصلی مؤثر در خطر آتش‌سوزی جنگل مطلوب به نظر می‌رسد. بنابراین در مورد زیرمعیارهای معیار توپوگرافی، معیار جهت جغرافیایی با وزن ۰/۳۰۶ بیشترین وزن را به خود اختصاص داده است و پس از آن به ترتیب زیرمعیارهای شب، فاصله از روودخانه و ارتفاع بیشترین وزن را دارا می‌باشند. در مورد معیار بیولوژیکی نیز زیرمعیارهای نوع پوشش گیاهی، رطوبت لاشبرگ و

این منطقه با استفاده از نقشه قابلیت تهیه شده امکان پذیر خواهد بود. بنابراین اقدامات مدیران جنگل برای پیش-گیری و کنترل آتشسوزی های آینده (مانند ایجاد برج های دیده بانی و استقرار یگان حفاظت در مناطق پر خطر و همچنین احداث آتش بر در محل های مناسب) در مناطق با خطر زیاد آتشسوزی باید با احتیاط بیشتری انجام - گیرد.

### تقدیر و تشکر

این تحقیق با حمایت سازمان جغرافیایی نیروهای مسلح ایران انجام شده که بدینوسیله از مسئولین مربوطه تشکر و قدردانی می گردد.

### منابع مورد استفاده

#### References

- Akbari, D., 2010. Warning of fire in forest areas using remote sensing techniques. Proceedings of the First National Conference on New Geomatic in Service of Society, Tehran, 14 March 2008: 25-30.
- Anonymous, 2011. Statistics and data of fire in 2010 in Mazandaran, Sari. Mazandaran Province Natural Resources Administration Office, Protection Unit, 120 p.
- Anonymous, 2010. Forestry plan of District Three of Neka-Zalemroud forests. Iran's Forests and Rangelands Organization, Mazandaran Natural Resources Administration Office, Iran, 109 p.
- Chang, D.Y., 1996. Applications of the extent analysis method on fuzzy AHP. European Journal of Operational Research, 95: 649–655.
- Chuvieco, E. and Congalton, R.G., 1989. Application of remote sensing and geographic information systems to forest fire hazard mapping. Remote Sensing of the Environment, 29: 147-159.
- Dong, X.U., Li-min, D., Guo-fan, SH., Lei, T. and Hui, W., 2005. Forest fire risk zone mapping from satellite images and GIS for Baihe Forestry Bureau, Jilin, China. Journal of Forestry Research, 16(3): 169-174.
- Deng, H., 1999. Multicriteria analysis with fuzzy pairwise comparisons. International Journal of Approximate Reasoning, 21: 215–231.
- Erensal, Y.C., Oncan, T. and Demircan, M.L., 2006. Determining key capabilities in technology management using fuzzy analytic hierarchy process: A case study of Turkey. Information Sciences, 176: 2755–2770.
- Erten, E., Kurgun, V. and Musaolu, N., 2005. Forest fire risk zone mapping from satellite imagery and خطر زیاد برای آتشسوزی دارد. همچنین ۲۸/۸۵ درصد (۴۰۳ هکتار) از منطقه دارای قابلیت خطر متوسط، ۲۳/۶ درصد (۳۶۰۱ هکتار) از منطقه دارای قابلیت کم (کم خطر) و ۸/۸۱ درصد (۱۳۴۵ هکتار) از منطقه دارای قابلیت بسیار کم (بسیار کم خطر) برای آتشسوزی است. بنابراین بیشتر منطقه قابلیت متوسط را برای آتشسوزی دارد.
- نتایج همپوشانی نقشه قابلیت خطر آتشسوزی با آتشسوزی های گذشته نشان داد، مناطقی که قبل از منطقه دچار حريق شده اند با مناطق پر خطر و پر خطر از نظر آتشسوزی تا حد زیادی همخوانی دارند و تقریباً ۸۰ درصد از مساحت مناطق سوخته در محدوده بسیار پر خطر و پر خطر برای آتشسوزی قرار گرفته اند. همچنین ۱۷ درصد از مناطق سوخته در محدوده خطر متوسط برای آتشسوزی قرار گرفته اند و مساحت محدوده های کم خطر و بسیار کم خطر در مناطق آتش-سوزی های گذشته بسیار محدودتر است (۳ درصد). این نتایج با نتایج پژوهش های دیگر که نشان دادند مناطق آتشسوزی شده با مناطق پر خطر از نظر آتشسوزی هم- پوشانی زیادی دارند، همخوانی لازم را دارد (Chuvieco & Congalton, 1989; Dong *et al.*, 2005; Pradhan *et al.*, 2007; Mohammadi *et al.*, 2010; Sowmya & Somashekhar, 2010; Salamati *et al.*, 2011; Maeda *et al.*, 2011; Paz *et al.*, 2011).
- با توجه به اینکه ۳۸/۷۴ درصد (۵۹۱۰ هکتار) از منطقه قابلیت خطر زیاد و بسیار زیاد برای آتشسوزی دارد، بنابراین جنگل های بخش سه نکا- ظالمروド در معرض آتشسوزی های آینده خواهند بود. بنابراین اقدامات پیش گیری کننده از وقوع آتشسوزی های آینده در این جنگل ها ضروری به نظر می رسد. به علاوه با توجه به اینکه مدل ساخته شده برای وقوع آتشسوزی جنگل براساس مقایسه با نتایج آتشسوزی های گذشته اعتبار بالایی را نشان داده است و با اثبات کارآیی این مدل برای قابلیت یابی آتشسوزی در جنگل های بخش سه نکا- ظالمرود، پیش بینی آتشسوزی های آینده در جنگل های

- risk: A recent case study from Mt. Carmel (Israel). *Forest Ecology and Management*, 262: 1184–1188.
- Podur, J., Martell, D.L. and Knight, K., 2002. Statistical quality control analysis of forest fire activity in Canada. *Canadian Journal Forest Research*, 32: 195–205.
  - Pradhan, B., Bin Suliman, M.H., Bin Awang, M.A., 2007. Forest fire susceptibility and risk mapping using remote sensing and geographical information systems (GIS). *Proceedings of Disaster Prevention and Management*, 16(3): 344 – 352, Lumpur, India, 3 – 4 May 2006: 7-12.
  - Saaty, T.L., 1980. *The Analytic Hierarchy Process: Planning, Priority Setting, Resource Allocation*. McGraw-Hill, New York, 270 p.
  - Salamati, H., Mostafalou, H., Mastoori, A. and Honardoost, F., 2011. Evaluation and provision of forest fire risk map using GIS in Golestan forests. *Proceeding of the First International Conference on Fire in Natural Resources*, Gorgan, Iran, 26-28 Oct. 2011: 37-47.
  - Sowmya, S. V. and Somashekhar, R. K., 2010. Application of remote sensing and geographical information system in mapping forest fire risk zone at Bhadra wildlife sanctuary, India. *Journal of Environmental Biology*, 31(6): 969-974.
  - Vadrevu, K.P., Eaturu, A. and Badarinath, K.V.S., 2009. Fire risk evaluation using multicriteria analysis, a case study. *Environment Monitoring Assessment*, DOI: 10.1007/s10661-009-0997-3.
  - Van Wagner, C. E., 1993. Prediction of crown fire behavior in two stands of Jack Pine. *Canadian Journal of Forest Research*, 18: 818–820.
  - Wang, Y.M., Luo, Y. and Hua, Z., 2008. On the extent analysis method for fuzzy AHP and its applications. *European Journal of Operational Research*, 186: 735-747.
  - Yousefi, A. and Jalilvand, H., 2010. Investigation of fire situation in forest and pasture areas of Mazandaran province (Basin of Sari Natural Resources Administration Office) from 2004 to 2007. *Proceedings of the Second International Conference on Climate Change and Tree Chronology*, Sari, Iran, 12-14 May 2010: 67-82.
  - GIS, a case study. Fire risk report, Civil Engineering Faculty, Remote Sensing Division, 7 p.
  - Feng, C., 1995. Fuzzy multicriteria decision making in distribution of factories: an application of approximate reasoning. *Fuzzy Sets and Systems*, 71: 197-205.
  - Ghodsipour, S.M., 2011. *Analytical Hierarchy Process (Ninth Edition)*. Amirkabir University Press, Tehran, 220 p.
  - Goncalves, Z. J. and Lourenco, L., 1990. Meteorological index of forest fire risk in the Portuguese mainland territory. *Proceedings of the International Conference on Forest Fire Research*, Coimbra, Portugal, 23-24 July1990: 1–14.
  - Hernandez-Leal, P. A., Arbelo, M. and Gonzalez-Calvo, A., 2006. Fire risk assessment using satellite data. *Advances in Space Research*, 37: 741–746.
  - Jaiswal, R.K., Mukherjee, S., Raju, D.K. and Saxena, R., 2002. Forest fire risk zone mapping from satellite imagery and GIS. *International Journal of Applied Earth Observation and Geoinformation*, 4: 1-10.
  - Kazemi, S. M., 2005. Fire and forest ecosystems. *Livestock, industry and culture journal*: 79-81.
  - Maeda, E. E., Arcoverde, G. F.B., Pellikka, P. K.E. and Shimabukuro, Y.E., 2011. Fire risk assessment in the Brazilian Amazon using MODIS imagery and change vector analysis. *Applied Geography*, 31: 76-84.
  - Maselli, F., Romanelli, S., Bottai, L. and Zipoli, G., 2003. Use of NOAA-AVHRR NDVI images for the estimation of dynamic fire risk in Mediterranean areas. *Remote Sensing of Environment*, 86: 187–197.
  - Mikhailov, L. and Tsvetinov, P., 2004. Evaluation of services using a fuzzy analytic hierarchy process. *Applied Soft Computing*, 5: 23–33.
  - Mohammadi, F., Shabanian, N., Pourhashemi, M. and Fatehi, P., 2010. Risk zone mapping of forest fire using GIS and AHP in a part of Pavéh forests. *Iranian Journal of Forest and Poplar Research*, 18(4): 569-586.
  - Paz, SH., Carmel, Y., Jahshan, F. and Shoshany, M., 2011. Post-fire analysis of pre-fire mapping of fire-

## Fire risk modeling and prediction in district three of Neka-Zalemroud forest, using Geographical Information System

**S. Eskandari<sup>1\*</sup>, J. Oladi Ghadikolaei<sup>2</sup>, H. Jalilvand<sup>2</sup>, M. R. Saradjian<sup>3</sup>**

<sup>1\*</sup>- Corresponding author, PhD student, Forestry Department, Sari Agricultural Sciences and Natural Resources University, Sari, I.R. Iran. Email: saeedeheskandari119@yahoo.com

<sup>2</sup>- Associate professor, Forestry Department, Sari Agricultural Sciences and Natural Resources University, Sari, I.R. Iran.

<sup>3</sup>- Associate professor, Remote Sensing Division, Surveying Engineering Department, College of Engineering, University of Tehran, Tehran, IR. Iran.

Received: 16.10.2012

Accepted: 27.03.2013

### Abstract

The aim of the study was to predict future fires at District Three of Neka-Zalemroud Forests, using fire risk modeling. Fuzzy Analytical Hierarchy (AHP) method was used to weight the effective fire factors, then map of each factor was developed for modeling sites with fire risk. The fire factors consisted of four major criteria and 17 sub-criteria. The major criteria consisted of topographical, biological, climatical and human factors. The maps of these factors were developed, using DEM and existing data in Neka Corporation Company. In addition, the past fires map was generated, using existing data in the Company and mapping fire patches perimeter by GPS. Verbal scales and results of distributed questionnaires among forest fire experts were used to weight the effective fire factors, using fuzzy AHP. Then relation consistency of each criterion was calculated, in order to investigate accuracy of criteria weight. Results showed that final weight of human, biological, climatic and topographical factors in forest fire risk potential were 0.301, 0.2595, 0.2315 and 0.208, respectively. Local fire risk model was presented, using weight of each criterion and sub-criterion, based on fuzzy AHP. Then map of effective fire factors (17 sub-criteria) was standardized, using fuzzy membership command in GIS and the pixel values of each map were scaled between 0 and 1. Finally, at first major criteria map (using weighted overlay of sub-criteria maps of each criterion) then fire risk map (using weighted overlay of four major criteria maps) was developed, using fire risk model equation. Overall, fire risk map was presented at five classes. Results showed that the sites with high fire risk on the developed map of fire risk potential are highly in accordance with the sites with past fire records which shows the high validation and accuracy of the developed model.

**Key words:** Fuzzy AHP, topographic, biologic, climatic and human factors, DEM